



# **Universidad de Concepción**

**Tarea 02 - Óptica matricial**

**Física V: 510355 - Óptica**

José Ignacio Rosas Sepúlveda

Kevin Andrés Vergara González

Víctor Patricio Maureira Cárdenas

Junio 2025

# Situación 1

Un pequeño objeto está dentro de un recipiente de ámbar. El recipiente es una esfera maciza de vidrio de índice de refracción  $n' = \frac{8}{5}$ , radio de curvatura  $|R| = 3\text{ cm}$  y se encuentra rodeado de aire de índice de refracción  $n = 1$ . El objeto está sobre el eje óptico y cuando es visto a lo largo del eje, y a través de la superficie, parece estar enterrado 5 cm dentro del recipiente. Calcule la distancia a la cual el mosquito está realmente dentro de la esfera.

## Solución:

Para mejor entendimiento del desarrollo de esta situación, iremos paso a paso realizándolo en base a la estructura mencionada en la tarea

## Paso 1

Identificamos el sistema óptico y la matriz  $[ABCD]$ , pero antes, identificaremos los datos importantes como:

- Indice de refracción del vidrio:  $n_1 = \frac{8}{5}$
- Indice de refracción del aire:  $n_2 = 1$
- Radio de curvatura de la superficie  $R = -3$  (dato que es convexo desde la perspectiva del aire)
- La imagen aparente se observa a  $s' = -5\text{ [cm]}$  desde la superficie
- La luz se propaga de derecha a izquierda

Notemos que como el sistema consta de una sola superficie esférica convexa que separa dos medios, usamos la matriz de refracción esférica, que es de la forma:

$$M_s = \begin{bmatrix} 1 & 0 \\ \frac{(n_1-n_2)}{n_2 R} & \frac{n_1}{n_2} \end{bmatrix}$$

$$M_s = \begin{bmatrix} 1 & 0 \\ \left(\frac{\frac{8}{5}-1}{1 \cdot (-3)}\right) & \frac{8}{5} \end{bmatrix}$$

Por lo tanto la matriz  $[ABCD]$  está dada por

$$\begin{bmatrix} A & B \\ C & D \end{bmatrix} = \begin{bmatrix} 1 & 0 \\ -\frac{1}{5} & \frac{8}{5} \end{bmatrix} \quad (0.1)$$

## Paso 2

Es muy importante notar que un punto en el eje óptico se representa como un vector, esto nos ayudara a encontrar la distancia a la cual se encuentra el objeto (en este caso el mosquito). Por tanto nuestro vector sería de la forma:

$$\vec{v} = \begin{bmatrix} y \\ \theta \end{bmatrix}$$

Para un objeto puntual sobre el eje óptico, usamos su posición relativa  $s$  como parte del sistema de propagación. Como solo tenemos una superficie usaremos la matriz para vincular la imagen y el objeto. Notemos que el vector

Imagen en óptica matricial está dado por:

$$\vec{v}' = \begin{bmatrix} 0 \\ \theta' \end{bmatrix}$$

Y ya con esto planteado, relacionamos el objeto con:

$$\vec{v}' = M \cdot \vec{v}$$

Para un objeto a una distancia  $s$ , el rayo que parte del objeto y llega perpendicular al eje llega a altura  $y$ , con un ángulo de  $\theta = -\frac{y}{s}$ . Usando  $y = 1$  (ya que todo es lineal)

$$\begin{aligned}\vec{v}_{obj} &= \begin{bmatrix} 1 \\ -\frac{1}{s} \end{bmatrix} \\ \vec{v}_{img} &= M \cdot \vec{v}_{obj} \\ \vec{v}_{img} &= \begin{bmatrix} 1 & 0 \\ -\frac{1}{5} & \frac{8}{5} \end{bmatrix} \cdot \begin{bmatrix} 1 \\ -\frac{1}{s} \end{bmatrix} \\ \vec{v}_{img} &= \begin{bmatrix} 1 \\ -\frac{1}{5} - \frac{8}{5s} \end{bmatrix}\end{aligned}$$

Notemos que el vector  $v_{img}$  es el vector que corresponde al rayo en el aire después de la refracción. Como queremos que este rayo forme una imagen virtual a una distancia  $s' = -5\text{cm}$ , el ángulo con respecto al eje debe ser el siguiente:

$$\theta' = -\frac{1}{s'} = \frac{1}{5}$$

entonces:

$$-\frac{1}{5} - \frac{8}{5s} = \frac{1}{5} \implies -\frac{8}{5s} = \frac{1}{5} + \frac{1}{5} \implies -\frac{8}{5s} = \frac{2}{5} \implies -\frac{8}{s} = 2$$

De esto obtenemos que la posición real del mosquito es de 4cm dentro del vidrio

### Paso 3

Calcularemos los datos de la tabla anteriormente mencionada

- Distancia focal de salida  $f'$ :

$$f' = -\frac{1}{C} = -\frac{1}{-\frac{1}{5}} = \boxed{5\text{cm}}$$

- Distancia focal de entrada

$$f = \frac{D}{-C} = \frac{\frac{8}{5}}{-(-\frac{1}{5})} = \boxed{8\text{cm}}$$

- Radio de curvatura:

$$r = R = \boxed{3\text{cm}}$$

- Distancia imagen ( $v$ ): Relacion matricial para propagacion desde objeto:

$$\vec{v}_{in} = \begin{bmatrix} 1 \\ -\frac{1}{s} \end{bmatrix} = \begin{bmatrix} 1 \\ \frac{1}{4} \end{bmatrix} \implies \vec{v}_{ext} = \begin{bmatrix} 1 & 0 \\ -\frac{1}{5} & \frac{8}{5} \end{bmatrix} \cdot \begin{bmatrix} 1 \\ \frac{1}{4} \end{bmatrix} = \begin{bmatrix} 1 \\ \frac{1}{5} \end{bmatrix}$$

Entonces el angulo en el aire es:

$$\theta = \frac{1}{v} \implies v = \frac{1}{\frac{1}{5}} = \boxed{5cm}$$

- Posicion imagen ( $w$ ): Distancia desde el vertice de la superficie hasta la imagen:

$$\boxed{w = -5cm}$$

## Situación 2

Una lente delgada convergente de longitud focal  $|f| = 15 \text{ cm}$  forma la imagen de un objeto colocado a una distancia de 5 cm a la izquierda de la lente.

### Solución:

En este caso la matriz del sistema óptico consiste de una refracción en la **lente delgada convergente**. Con  $f = +15 \text{ cm}$ , se tiene:

$$M = \begin{bmatrix} 1 & 0 \\ -\frac{1}{f} & 1 \end{bmatrix} = \begin{bmatrix} 1 & 0 \\ -\frac{1}{15} \text{ cm}^{-1} & 1 \end{bmatrix}, \quad (0.2)$$

donde  $A = 1$ ,  $B = 0$ ,  $C = -\frac{1}{15} \text{ cm}^{-1}$  y  $D = 1$ .

Notar que el **determinante** de esta matriz es

$$\begin{aligned} \det M &= (1 \cdot 1) - \left[ 0 \cdot \left( -\frac{1}{15} \text{ cm}^{-1} \right) \right] \\ &= 1, \end{aligned}$$

es decir,

$$\boxed{\det M = 1}$$

lo que implica

$$\frac{n_1}{n_3} = 1 \quad \Rightarrow \quad n_1 = n_3,$$

es decir, la lente delgada está inmersa en un mismo medio de índice de refracción  $n_1$ .

Ahora, calculamos los **puntos cardinales**:

$$\begin{aligned} f &= \left( \frac{n_1}{n_3} \right) \frac{1}{C} = (1) \left( \frac{1}{-\frac{1}{15} \text{ cm}^{-1}} \right) \rightarrow \boxed{f = -15 \text{ cm}}. \\ f' &= -\frac{1}{C} = -\left( \frac{1}{-\frac{1}{15} \text{ cm}^{-1}} \right) \rightarrow \boxed{f' = +15 \text{ cm}}. \\ r &= \left( D - \frac{n_1}{n_3} \right) \frac{1}{C} = (1 - 1) \left( \frac{1}{-\frac{1}{15} \text{ cm}^{-1}} \right) \rightarrow \boxed{r = 0 \text{ cm}}. \\ s &= (1 - A) \frac{1}{C} = (1 - 1) \left( \frac{1}{-\frac{1}{15} \text{ cm}^{-1}} \right) \rightarrow \boxed{s = 0 \text{ cm}}. \\ v &= (D - 1) \frac{1}{C} = (1 - 1) \left( \frac{1}{-\frac{1}{15} \text{ cm}^{-1}} \right) \rightarrow \boxed{v = 0 \text{ cm}}. \\ w &= \left( \frac{n_1}{n_3} - A \right) \frac{1}{C} = (1 - 1) \left( \frac{1}{-\frac{1}{15} \text{ cm}^{-1}} \right) \rightarrow \boxed{w = 0 \text{ cm}}. \end{aligned}$$

En resumen:

- El **primer foco** está a 15 cm a la izquierda del centro óptico de la lente.
- El **segundo foco** está a 15 cm a la derecha del centro óptico de la lente.
- El **centro óptico** de la lente se toma como el origen, es decir, 0 cm.

- El **primer plano principal**, el **segundo plano principal**, el **primer plano nodal** y el **segundo plano nodal** coinciden en el centro de la lente para una lente delgada ideal, por lo tanto, se encuentran en 0 cm.

Esto se resume en la siguiente tabla:

$f$	$f'$	$r$	$s$	$v$	$w$
-15 cm	+15 cm	0 cm	0 cm	0 cm	0 cm

**Cuadro 1:** Tabla con las distancias cardinales.

La distancia imagen  $z_2$  se obtiene a partir de los elementos de la matriz  $[ABCD]$  y la distancia objeto  $z_1$ . Con  $z_1 = 5 \text{ cm}$  se tiene:

$$\begin{aligned} z_2 &= -\left(\frac{z_1 A + B}{z_1 C + D}\right) \\ &= -\left(\frac{(5 \text{ cm})1 + 0}{(5 \text{ cm})\left(-\frac{1}{15} \text{ cm}^{-1}\right) + 1}\right) \\ &= -\left(\frac{5 \text{ cm}}{\left(-\frac{1}{3}\right) + 1}\right) \\ &= -\left(\frac{5 \text{ cm}}{\frac{2}{3}}\right) \\ &= -\frac{15}{2} \text{ cm}. \end{aligned}$$

Por lo tanto la distancia imagen  $z_2$  es:

$$z_2 = -\frac{15}{2} \text{ cm}.$$

Sabemos que para una matriz de planos conjugado el elemento A de esa matriz representa el aumento lateral del sistema, así:

$$\begin{aligned} m &= A + z_2 C \\ &= 1 + \left(-\frac{15}{2} \text{ cm}\right) \left(-\frac{1}{15} \text{ cm}^{-1}\right) \\ &= 1 + \frac{1}{2} \\ &= \frac{3}{2}. \end{aligned}$$

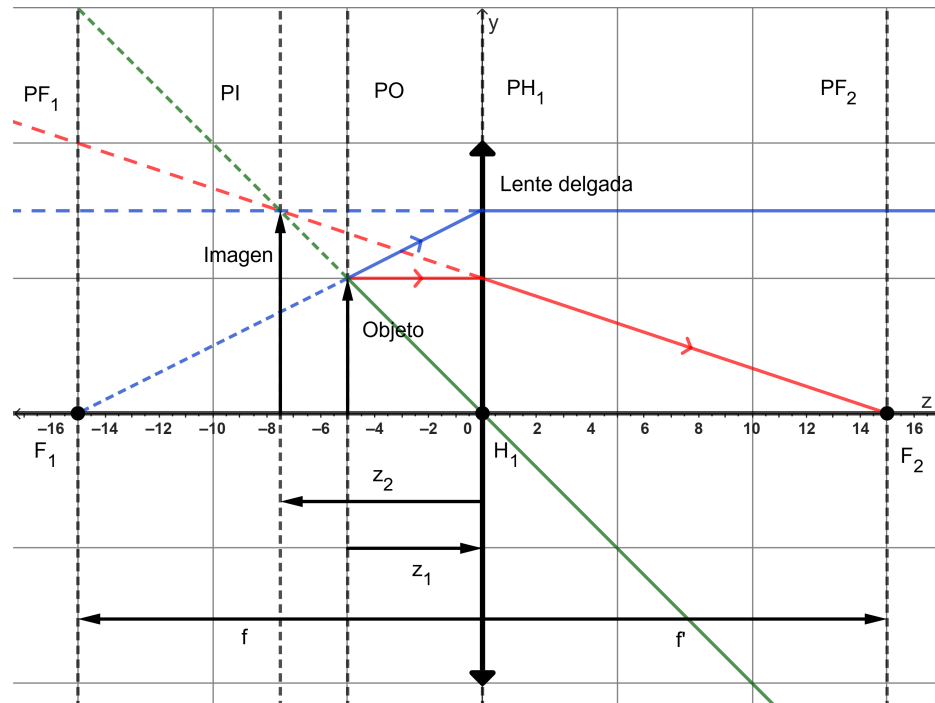
Por lo tanto el aumento lateral del sistema es:

$$m = \frac{3}{2}.$$

## Características de la imagen

- **Tipo:** virtual (la imagen aparece en el mismo lado que el objeto,  $z_2 = -\frac{15}{2} \text{ cm} < 0$ ).
- **Orientación:** derecha (erecta,  $m = +\frac{3}{2} > 0$ ).

- **Tamaño:** aumentada,  $|m| = \frac{3}{2}$  veces el objeto.
- **Escala:** en el eje  $x$ , cada cuadrito vale 1 cm; en el eje  $y$ , cada 2 cuadritos valen 1 cm.



**Figura 1:** Construcción geométrica de la formación de imágenes para la **Situación 2:** una lente delgada convergente de distancia focal  $f = +15$  cm, con un objeto situado a  $z_1 = -5$  cm a la izquierda de la lente (origen en el centro óptico  $H_1$ ). Se muestran los puntos focales ( $F_1, F_2$ ), los planos principales y nodales ( $PH_1, PH_2, PO$ ), y la trayectoria de los rayos principales: **Rayo 1** (rojo) paralelo al eje óptico que tras la lente pasa por el foco posterior  $F_2$ ; **Rayo 2** (verde) que atraviesa el foco anterior  $F_1$  y emerge paralelo al eje óptico; **Rayo 3** (azul) que atraviesa el centro óptico sin desviarse. El cruce de las prolongaciones de los rayos determina la posición de la **imagen virtual**, situada a  $z_2 = -7.5$  cm, mayor y derecha respecto al objeto. Se indican además las distancias  $z_1, z_2, f$  y  $f'$  para referencia.

#### Caracterización de los rayos principales:

- **Rayo 1 (R1):** Parte del objeto paralelo al eje óptico, atraviesa la lente y se refracta pasando por el foco posterior  $F_2$ . En el caso de imagen virtual, su prolongación (línea punteada hacia la izquierda) converge hacia la posición de la imagen detrás del objeto.
- **Rayo 2 (R2):** Se dirige hacia el foco anterior  $F$  de la lente, y al atravesarla, emerge paralelo al eje óptico. Para la imagen virtual, la prolongación de este rayo también converge con la prolongación de R1 en la ubicación de la imagen.
- **Rayo 3 (R3):** Cruza el centro óptico de la lente y continúa en línea recta sin desviación, ya que en la aproximación de lente delgada el centro óptico no introduce desplazamiento angular.
- La **imagen virtual** se forma en el punto donde se cruzan las prolongaciones de R1 y R2. En este caso, la imagen aparece a la izquierda de la lente, es mayor que el objeto y está derecha, coherente con el aumento positivo.

## Situación 3

A la derecha de la lente de la Situación 2, y a una distancia de 60 cm desde su centro, se coloca una segunda lente delgada divergente de longitud focal  $|f| = 15 \text{ cm}$ . Un objeto es colocado a 25 cm a la izquierda de la primera lente.

### Solución:

En este caso, la matriz del sistema óptico consiste en una refracción en la primera lente delgada convergente, una propagación entre las lentes y una última refracción en la segunda lente delgada divergente. Con  $f = +15 \text{ cm}$ ,  $d = 60 \text{ cm}$  y  $f' = -15 \text{ cm}$ , se tiene:

$$\begin{aligned} M &= \begin{bmatrix} 1 & 0 \\ -\frac{1}{f'} & 1 \end{bmatrix} \begin{bmatrix} 1 & d \\ 0 & 1 \end{bmatrix} \begin{bmatrix} 1 & 0 \\ -\frac{1}{f} & 1 \end{bmatrix} \\ &= \begin{bmatrix} 1 & 0 \\ -\frac{1}{-15 \text{ cm}} & 1 \end{bmatrix} \begin{bmatrix} 1 & 60 \text{ cm} \\ 0 & 1 \end{bmatrix} \begin{bmatrix} 1 & 0 \\ -\frac{1}{15 \text{ cm}} & 1 \end{bmatrix} \\ &= \begin{bmatrix} 1 & 0 \\ \frac{1}{15} \text{ cm}^{-1} & 1 \end{bmatrix} \begin{bmatrix} -3 & 60 \text{ cm} \\ -\frac{1}{15} \text{ cm}^{-1} & 1 \end{bmatrix} \\ &= \begin{bmatrix} -3 & 60 \text{ cm} \\ -\frac{3}{15} \text{ cm}^{-1} - \frac{1}{15} \text{ cm}^{-1} & 5 \end{bmatrix} \\ &= \begin{bmatrix} -3 & 60 \text{ cm} \\ -\frac{4}{15} \text{ cm}^{-1} & 5 \end{bmatrix}. \end{aligned}$$

Por lo tanto, la matriz de trayectoria de un rayo o matriz  $[\mathbf{ABCD}]$  que caracteriza el sistema es:

$$M = \boxed{\begin{bmatrix} -3 & 60 \text{ cm} \\ -\frac{4}{15} \text{ cm}^{-1} & 5 \end{bmatrix}},$$

donde  $A = -3$ ,  $B = 60 \text{ cm}$ ,  $C = -\frac{4}{15} \text{ cm}^{-1}$  y  $D = 5$ .

Notar que el **determinante** de esta matriz es

$$\begin{aligned} \det M &= (-3) \cdot (5) - (60 \text{ cm}) \cdot \left(-\frac{4}{15} \text{ cm}^{-1}\right) \\ &= -15 + 16 \\ &= 1 \end{aligned}$$

es decir,

$$\boxed{\det M = 1}$$

lo que implica

$$\frac{n_1}{n_3} = 1 \quad \Rightarrow \quad n_1 = n_3,$$

es decir, el sistema óptico está inmerso en un mismo medio de índice de refracción  $n_1$ .

Ahora, calculamos los **puntos cardinales**:

$$\begin{aligned}
 f &= \left( \frac{n_1}{n_3} \right) \frac{1}{C} = (1) \left( \frac{1}{-\frac{4}{15} \text{ cm}^{-1}} \right) \rightarrow f = -\frac{15}{4} \text{ cm} \\
 f' &= -\frac{1}{C} = -\left( \frac{1}{-\frac{4}{15} \text{ cm}^{-1}} \right) \rightarrow f' = +\frac{15}{4} \text{ cm} \\
 r &= \left( D - \frac{n_1}{n_3} \right) \frac{1}{C} = (5 - 1) \left( \frac{1}{-\frac{4}{15} \text{ cm}^{-1}} \right) \rightarrow r = -15 \text{ cm} \\
 s &= (1 - A) \frac{1}{C} = [1 - (-3)] \left( \frac{1}{-\frac{4}{15} \text{ cm}^{-1}} \right) \rightarrow s = -15 \text{ cm} \\
 v &= (D - 1) \frac{1}{C} = (5 - 1) \left( \frac{1}{-\frac{4}{15} \text{ cm}^{-1}} \right) \rightarrow v = -15 \text{ cm} \\
 w &= \left( \frac{n_1}{n_3} - A \right) \frac{1}{C} = [1 - (-3)] \left( \frac{1}{-\frac{4}{15} \text{ cm}^{-1}} \right) \rightarrow w = -15 \text{ cm}
 \end{aligned}$$

En resumen:

- El **primer foco** está a  $\frac{15}{4}$  cm a la izquierda del centro óptico de la lente.
- El **segundo foco** está a  $\frac{15}{4}$  cm a la derecha del centro óptico de la lente.
- El **centro óptico** de la lente se ubica en  $-15$  cm.
- El **primer plano principal**, el **segundo plano principal**, el **primer plano nodal** y el **segundo plano nodal** coinciden en el centro óptico de la lente para una lente delgada ideal, por lo tanto, se encuentran todos en  $-15$  cm.

Los puntos cardinales del sistema compuesto de dos lentes, obtenidos a partir de la matriz total del sistema (con origen de coordenadas en el centro óptico de la primera lente,  $z = 0$ ), son:

Esto se resume en la siguiente tabla:

$f$	$f'$	$r$	$s$	$v$	$w$
$-\frac{15}{4}$ cm	$+\frac{15}{4}$ cm	$-15$ cm	$-15$ cm	$-15$ cm	$-15$ cm

**Cuadro 2:** Tabla con las distancias cardinales.

La distancia imagen  $z_2$  se obtiene a partir de los elementos de la matriz  $[\mathbf{ABCD}]$  y la distancia objeto  $z_1$ . Con  $z_1 = 25$  cm se tiene:

$$\begin{aligned}
 z_2 &= -\left( \frac{z_1 A + B}{z_1 C + D} \right) \\
 &= -\left( \frac{(25 \text{ cm})(-3) + (60 \text{ cm})}{(25 \text{ cm}) \left( -\frac{4}{15} \text{ cm}^{-1} \right) + 5} \right) \\
 &= -\left( \frac{-75 \text{ cm} + 60 \text{ cm}}{-\frac{20}{3} + 5} \right) \\
 &= -\left( \frac{-15 \text{ cm}}{\frac{-20+15}{3}} \right) \\
 &= -\frac{15}{\frac{5}{3}} \text{ cm} \\
 &= -9 \text{ cm}
 \end{aligned}$$

Por lo tanto la distancia imagen  $z_2$  es:

$$z_2 = -9 \text{ cm}.$$

Sabemos que para una matriz de planos conjugado el elemento A de esa matriz representa el aumento lateral del sistema, así:

$$\begin{aligned} m &= A + z_2 C \\ &= -3 + (-9 \text{ cm}) \left( -\frac{4}{15} \text{ cm}^{-1} \right) \\ &= -3 + \frac{12}{5} \\ &= -\frac{3}{5}. \end{aligned}$$

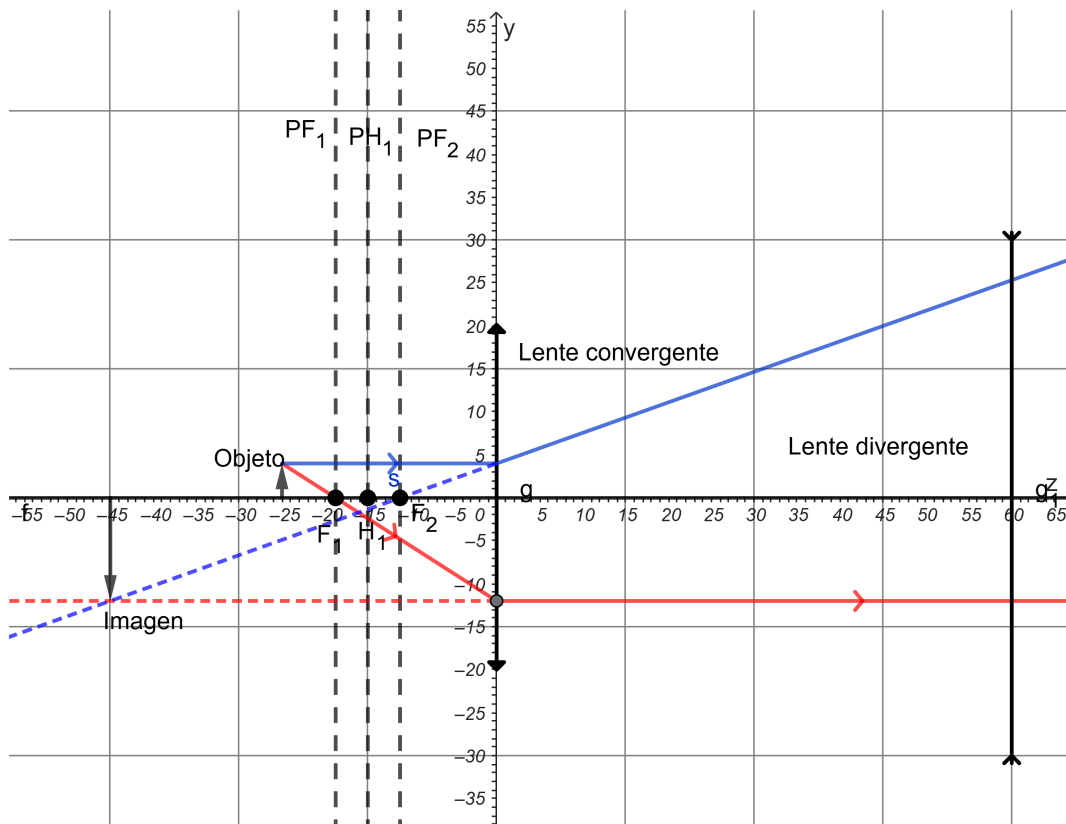
Por lo tanto el aumento lateral del sistema es:

$$m = -\frac{3}{5}.$$

La imagen se ubica a  $z_2 = -9 \text{ cm}$ , es decir, a la izquierda de la primera lente, lo cual indica que es una imagen virtual. El valor negativo del aumento ( $m = -\frac{3}{5}$ ) indica que la imagen está invertida respecto al objeto, y el valor absoluto menor que uno implica que es reducida.

## 0.1. Características de la imagen

- **Tipo:** virtual (la imagen aparece en el mismo lado que el objeto,  $z_2 = -9 \text{ cm} < 0$ ).
- **Orientación:** invertida (debido a que  $m = -\frac{3}{5} < 0$ ).
- **Tamaño:** reducida,  $|m| = \frac{3}{5}$  veces el objeto.
- **Escala:** en el eje  $x$ , cada cuadrito vale 1 cm; en el eje  $y$ , cada 2 cuadritos valen 1 cm.



**Figura 2:** Diagrama de rayos (Situación 3). Objeto a  $z_1 = -25$  cm, lente 1 en  $z = 0$ , lente 2 en  $z = +60$  cm, imagen virtual en  $z_2 = -9$  cm (a 9 cm a la izquierda de la lente 2).

#### Dibujo del diagrama de rayos:

- **R1** – Rayo paralelo al eje óptico que, tras la lente convergente, se refracta pasando por su foco posterior, se propaga 60 cm y luego, al atravesar la lente divergente, sale como si proveniera de su foco anterior.
- **R2** – Rayo dirigido hacia el foco anterior de la primera lente que, tras ella, emerge paralelo; después de los 60 cm atraviesa la segunda lente y se desvía como rayo divergente paralelo al eje (prolongación apunta hacia la izquierda).
- **R3** – Rayo que atraviesa el centro óptico de la primera lente sin desviarse, viaja 60 cm y atraviesa el centro óptico de la segunda lente también sin desviarse.
- El cruce de las prolongaciones de R1 y R2 (líneas punteadas) marca la posición de la *imagen virtual* entre las dos lentes.

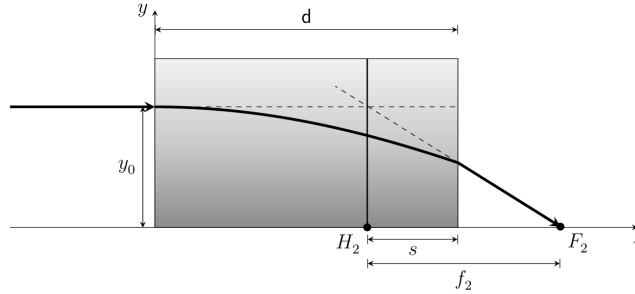
# 1. Problema 1

**A.** Demuestre, analíticamente, que una placa SELFOC de longitud  $d < \pi/2\alpha$  e índice de refracción dado por la expresión

$$n^2(y) = n_0^2 (1 - \alpha^2 y^2) \quad (1.1)$$

actúa como una lente cilíndrica (una lente con poder focalizador en el plano  $y - z$ ) de longitud focal

$$f_2 = \frac{1}{\alpha \sin(\alpha d)} . \quad (1.2)$$



**Figura 3:** La placa SELFOC usada como una lente;  $f_2$  es el segundo punto focal y  $H_2$  es el segundo punto principal.

## Solución:

Consideremos un rayo propagándose por una placa SELFOC por el plano  $y - z$ , con eje óptico paralelo al eje  $z$ . Dicha placa tiene indice de refracción homogéneo en  $x$  y  $z$ , pero variable en  $y$  de forma:

$$n^2(y) = n_0^2 (1 - \alpha^2 y^2) , \quad (1.3)$$

Considerando que  $n(y)$  es una función siempre positiva y  $n_0 > 0$ , tomamos la raíz cuadrada de esta ecuación y la expresamos de forma:

$$n(y) = n_0 (1 - \alpha^2 y^2)^{\frac{1}{2}} \quad (1.4)$$

Consideramos el desarrollo en serie de Taylor para una función  $f(x) = (1 - x)^n$ ,

$$(1 - x)^n = 1 - nx + \frac{n(n-1)}{2} x^2 - \frac{n(n-1)(n-2)}{3!} x^3 + \dots \quad (1.5)$$

Tomando  $x = \alpha^2 y^2$  y  $n = \frac{1}{2}$  en (1.5). A su vez, suponiendo que  $\alpha$  es tal que  $\alpha^2 y^2 \ll 1$ , para todo  $y$  de interés. Se obtiene la aproximación:

$$(1 - \alpha^2 y^2)^{\frac{1}{2}} \approx 1 - \frac{1}{2} \alpha^2 y^2 \quad (1.6)$$

Empleando la aproximación (1.6) en (1.4), tenemos:

$$n(y) \approx n_0 \left( 1 - \frac{1}{2} \alpha^2 y^2 \right)$$

Reordenamos factores

$$\frac{n_0}{n(y)} \approx \left( 1 - \frac{1}{2} \alpha^2 y^2 \right)^{-1} .$$

Utilizando el desarrollo en serie de Taylor para una función  $f(x) = (1-x)^{-1}$ :

$$(1-x)^{-1} = 1 + x + x^2 + x^3 + \dots, \quad |x| < 1,$$

teniendo  $x = \frac{1}{2}\alpha^2y^2$ , obtenemos:

$$\frac{n_0}{n(y)} \approx 1 + \frac{1}{2}\alpha^2y^2 + \left(\frac{1}{2}\alpha^2y^2\right)^2 + \dots.$$

Dado que  $\alpha^2y^2 \ll 1$ , el término de orden  $\alpha^4y^4$  puede despreciarse,

$$\frac{n_0}{n(y)} \approx 1 + \frac{1}{2}\alpha^2y^2,$$

Elevamos esta aproximación al cuadrado, tenemos:

$$\begin{aligned} \left(\frac{n_0}{n(y)}\right)^2 &\approx \left(1 + \frac{1}{2}\alpha^2y^2\right)^2 \\ &= 1 + 2\left(\frac{1}{2}\alpha^2y^2\right) + \left(\frac{1}{2}\alpha^2y^2\right)^2 \\ &= 1 + \alpha^2y^2 + \frac{1}{4}\alpha^4y^4. \end{aligned}$$

Nuevamente, dado que  $\alpha^2y^2 \ll 1$ , el término de orden  $\alpha^4y^4$  puede despreciarse. Obtenemos así:

$$\left(\frac{n_0}{n(y)}\right)^2 \approx 1 + \alpha^2y^2. \quad (1.7)$$

A continuación, derivamos la ecuación (1.3) respecto a  $y$ :

$$\frac{d}{dy}[n^2(y)] = \frac{d}{dy} [n_0^2(1 - \alpha^2 y^2)],$$

obtenemos:

$$\frac{dn}{dy}(y) = -\frac{n_0^2}{n(y)} \alpha^2 y. \quad (1.8)$$

Sabemos que la ecuación de un rayo en un medio con índice variable es, en general,

$$\frac{d}{ds} \left( n \frac{d\vec{r}}{ds} \right) = \nabla n, \quad (1.9)$$

donde  $s$  es la longitud de arco, y  $\vec{r}(s)$  la posición del rayo. Para rayos que se propagan en el plano  $y-z$  (eje óptico en  $z$ ) y variación sólo en  $y$ , esto se reduce a

$$\frac{d}{ds} \left( n \frac{dy}{ds} \right) = \frac{dn}{dy}. \quad (1.10)$$

En la aproximación paraxial ( $\theta \approx dy/dz \ll 1$ ,  $ds \approx dz$ ), esto se convierte en:

$$\frac{d}{dz} \left( n \frac{dy}{dz} \right) \approx \frac{dn}{dy}. \quad (1.11)$$

Dado que el indicie de refracción  $n$  es no homogéneo solo en  $y$ , es decir  $n = n(y)$ , se tiene:

$$n(y) \frac{d^2y}{dz^2} = \frac{dn}{dy}.$$

Dividiendo ambos lados por  $n(y)$  (asumiendo  $n(y) \neq 0$  en la región relevante),

$$\frac{d^2y}{dz^2} = \frac{1}{n(y)} \frac{dn}{dy}. \quad (1.12)$$

Sustituyendo (1.8) en (1.12),

$$\frac{d^2y}{dz^2} \approx - \left( \frac{n_0}{n(y)} \right)^2 \alpha^2 y. \quad (1.13)$$

Sustituyendo (1.7) en (1.13),

$$\frac{d^2y}{dz^2} \approx - (1 + \alpha^2 y^2) \alpha^2 y = - (\alpha^2 y + \alpha^4 y^3).$$

Siendo  $\alpha^2 y^2 \ll 1$ , el término  $\alpha^4 y^3$  puede despreciarse a primer orden, quedando

$$\frac{d^2y}{dz^2} \approx - \alpha^2 y.$$

Así, la ecuación para la trayectoria del rayo a travez de la placa SELFOC es:

$$\frac{d^2y}{dz^2} + \alpha^2 y = 0. \quad (1.14)$$

Esto es la ecuación de un **oscilador armónico simple** de frecuencia  $\alpha$ . Cuya solución general de es:

$$y(z) = A \cos(\alpha z) + B \sin(\alpha z).$$

Supongamos una posición inicial  $y(0) = y_0$  y una pendiente inicial  $\frac{dy}{dz} = \theta_0$  en  $z = 0$ . Con tales condiciones iniciales se definen los coeficientes  $A$  y  $B$ , de modo:

$$A = y_0 \quad \text{y} \quad B = \frac{\theta_0}{\alpha}.$$

Así, se tiene la siguiente ecuación para la trayectoria del rayo:

$$y(z) = y_0 \cos(\alpha z) + \frac{\theta_0}{\alpha} \sin(\alpha z).$$

De la ecuación anterior se tiene que la pendiente de la trayectoria es

$$\frac{dy}{dz}(z) = -y_0 \alpha \sin(\alpha z) + \theta_0 \cos(\alpha z).$$

Al recorrer la placa SELFOC de longitud  $d$ , el estado del rayo evoluciona de  $(y_0, \theta_0)$  en  $z = 0$  a  $(y_d, \theta_d)$  en  $z = d$ :

$$\begin{aligned} y(d) &= y_0 \cos(\alpha d) + \frac{\theta_0}{\alpha} \sin(\alpha d) \\ \frac{dy}{dz}(d) &= -y_0 \alpha \sin(\alpha d) + \theta_0 \cos(\alpha d) \end{aligned}$$

Es decir, la evolución es lineal y se puede escribir en forma matricial:

$$\begin{pmatrix} y(d) \\ \theta(d) \end{pmatrix} = \begin{pmatrix} \cos(\alpha d) & \frac{1}{\alpha} \sin(\alpha d) \\ -\alpha \sin(\alpha d) & \cos(\alpha d) \end{pmatrix} \begin{pmatrix} y_0 \\ \theta_0 \end{pmatrix} \quad (1.15)$$

Identificamos que en este sistema óptico la **matriz de transformación del rayo** es

$$M = \begin{pmatrix} A & B \\ C & D \end{pmatrix} = \begin{pmatrix} \cos(\alpha d) & \frac{1}{\alpha} \sin(\alpha d) \\ -\alpha \sin(\alpha d) & \cos(\alpha d) \end{pmatrix}$$

Queremos demostrar que este sistema actúa como una **lente cilíndrica** y encontrar su distancia focal de salida  $f_2$ . Es sabido que  $f_2$  puede calcularse a partir de  $C$  de modo:

$$f_2 = \frac{1}{-C}, \quad (1.16)$$

donde  $C = -\alpha \sin(\alpha d)$ . Sustituyendo en (1.16), obtenemos:

$$f_2 = \frac{1}{\alpha \sin(\alpha d)}$$

Hemos demostrado que una placa SELFOC de perfil cuadrático, longitud  $d$ , y parámetro  $\alpha$  actúa, en régimen paraxial, como una lente cilíndrica cuya distancia focal de salida es

$$f_2 = \frac{1}{\alpha \sin(\alpha d)}$$

válida mientras  $d < \frac{\pi}{2\alpha}$ , pues para mayores valores la función seno se anula y la trayectoria de los rayos se vuelve periódica (no focalizadora).

**B.** Demuestre que el segundo plano principal  $H_2$  (mostrado en la figura adjunta) reside a la distancia

$$s = -\left(\frac{1}{\alpha}\right) \tan\left(\frac{\alpha d}{2}\right).$$

**Solución:**

Para el cálculo de  $s$ , consideremos nuevamente la matriz de transferencia del rayo de este sistema óptico formado por la placa SELFOC,

$$M = \begin{pmatrix} A & B \\ C & D \end{pmatrix} = \begin{pmatrix} \cos(\alpha d) & \frac{1}{\alpha} \sin(\alpha d) \\ -\alpha \sin(\alpha d) & \cos(\alpha d) \end{pmatrix}.$$

Sabemos que la distancia  $s$  se relaciona con los elementos  $A$  y  $C$  de esta matriz según la ecuación:

$$s = (1 - A) \frac{1}{C}. \quad (1.17)$$

Donde tenemos que:

$$A = \cos(\alpha d) \quad \text{y} \quad C = -\alpha \sin(\alpha d).$$

Sustituyendo  $A$  y  $C$  en (1.17), tenemos:

$$s = [1 - \cos(\alpha d)] \left( \frac{1}{-\alpha \sin(\alpha d)} \right).$$

Expresamos la ecuación de forma conveniente:

$$s = -\left(\frac{1}{\alpha}\right) \left( \frac{1 - \cos(\alpha d)}{\sin(\alpha d)} \right). \quad (1.18)$$

Recordemos las identidades trigonométricas:

$$\sin^2\left(\frac{\theta}{2}\right) = \frac{1}{2} - \frac{\cos \theta}{2}.$$

$$\sin(2\varphi) = 2 \sin(\varphi) \cos(\varphi).$$

Definiendo de manera conveniente a los ángulos  $\theta := \alpha d$  y  $\varphi := \frac{\alpha d}{2}$ , estas identidades se expresan de forma:

$$2 \sin^2\left(\frac{\alpha d}{2}\right) = 1 - \cos(\alpha d). \quad (1.19)$$

$$\sin(\alpha d) = 2 \sin\left(\frac{\alpha d}{2}\right) \cos\left(\frac{\alpha d}{2}\right). \quad (1.20)$$

Sustituyendo (1.19) y (1.20) en (1.18), se tiene:

$$\begin{aligned} s &= -\left(\frac{1}{\alpha}\right) \left( \frac{1 - \cos(\alpha d)}{\sin(\alpha d)} \right) \\ &= -\left(\frac{1}{\alpha}\right) \left( \frac{2 \sin^2\left(\frac{\alpha d}{2}\right)}{2 \sin\left(\frac{\alpha d}{2}\right) \cos\left(\frac{\alpha d}{2}\right)} \right) \\ &= -\left(\frac{1}{\alpha}\right) \left( \frac{\sin\left(\frac{\alpha d}{2}\right)}{\cos\left(\frac{\alpha d}{2}\right)} \right) \\ &= -\left(\frac{1}{\alpha}\right) \tan\left(\frac{\alpha d}{2}\right) \end{aligned}$$

Así, queda demostrado que el segundo plano principal  $H_2$  (mostrado en la figura adjunta) reside a la distancia

$$s = -\left(\frac{1}{\alpha}\right) \tan\left(\frac{\alpha d}{2}\right).$$

**C.** Haga gráficos (separados) para mostrar la trayectoria del rayo mostrado en la Fig. 3 en los siguientes casos particulares:

- i)  $d = \frac{\pi}{\alpha}$
- ii)  $d = \frac{\pi}{2\alpha}$
- iii)  $d = \frac{\pi}{4\alpha}$

Para sus gráficos considere  $\alpha = 0,5$  e  $y_0 = 2,5$ . Para cada caso evalúe  $s$  y  $f$ .

**Solución:**

### 1.1. c)

Para abordar este ejercicio desde la óptica matricial debemos notar ciertas cosas, como que el vector de rayos se representa como:

$$\begin{bmatrix} y \\ \theta \end{bmatrix}$$

y se transforma a través del sistema óptico por:

$$\begin{bmatrix} y_{ex} \\ \theta_{ex} \end{bmatrix} = \begin{bmatrix} A & B \\ C & D \end{bmatrix} \begin{bmatrix} y_{in} \\ \theta_{in} \end{bmatrix}$$

#### 1.1.1. Paso 1

Primero identificamos el sistema óptico, para esto es necesario tener en cuenta que el índice de refracción variable se nos da por enunciado y es  $n^2(y) = n_0^2(1 - \alpha^2y^2)$ . Notemos que este medio puede ser representado mediante una matriz de transferencia ABCD en coordenadas paraxiales. La matriz de propagación a través de una longitud  $d$  es:

$$M_{GRIN} = \begin{bmatrix} \cos(\alpha d) & \frac{1}{d} \sin(\alpha d) \\ -\alpha \sin(\alpha d) & \cos(\alpha d) \end{bmatrix}$$

La salida del rayo se obtiene aplicando:

$$\begin{bmatrix} y_d \\ \theta_d \end{bmatrix} = \begin{bmatrix} \cos(\alpha d) & \frac{1}{d} \sin(\alpha d) \\ -\alpha \sin(\alpha d) & \cos(\alpha d) \end{bmatrix} \cdot \begin{bmatrix} y_0 \\ \theta_0 \end{bmatrix}$$

Notemos que  $\theta = 0$ , con esto el resultado se simplifica a:

$$\begin{aligned} y_d &= y_0 \cos(\alpha d) \\ \theta_d &= -\alpha y_0 \sin(\alpha d) \end{aligned}$$

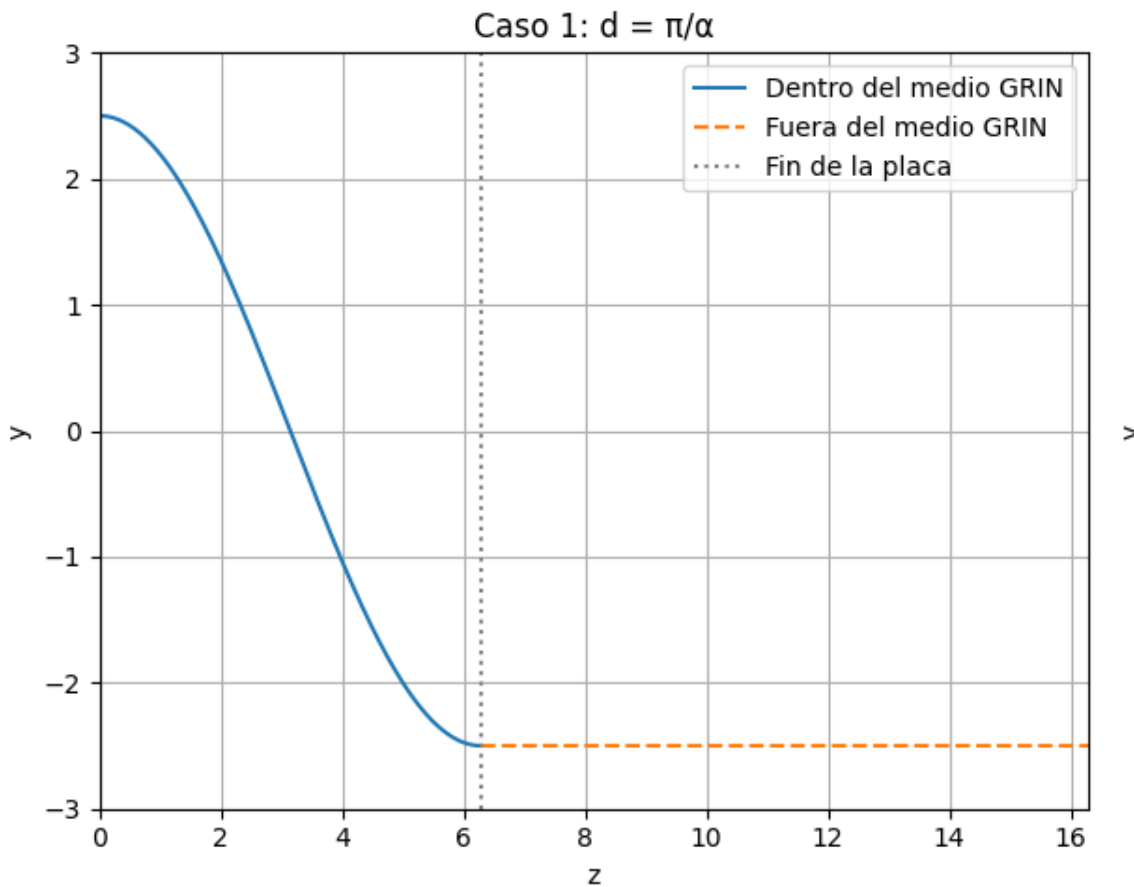
#### 1.1.2. Paso 2

Ahora veámoslo por casos

Caso 1:  $d = \frac{\pi}{\alpha}$

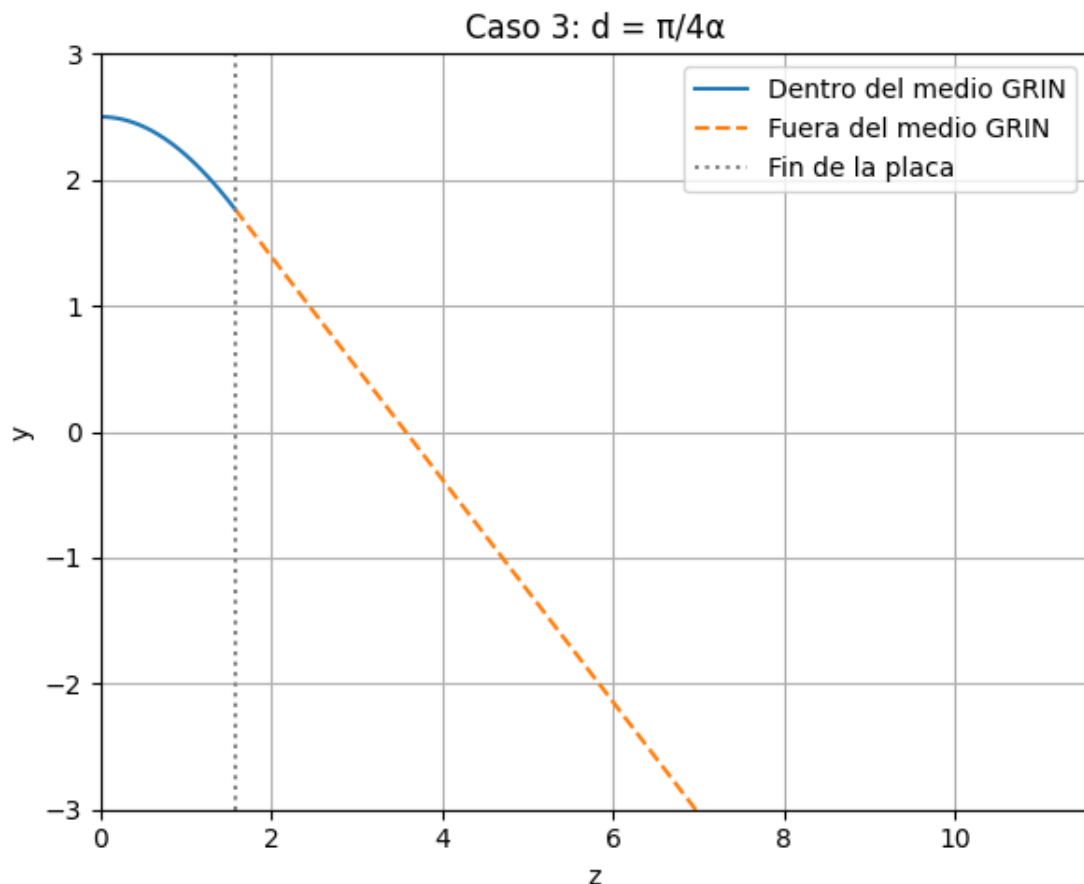
■  $\alpha d = \pi$

- $\cos(\pi) = -1, \sin(\pi) = 0$
- $y_d = -2,5, \theta_d = 0$



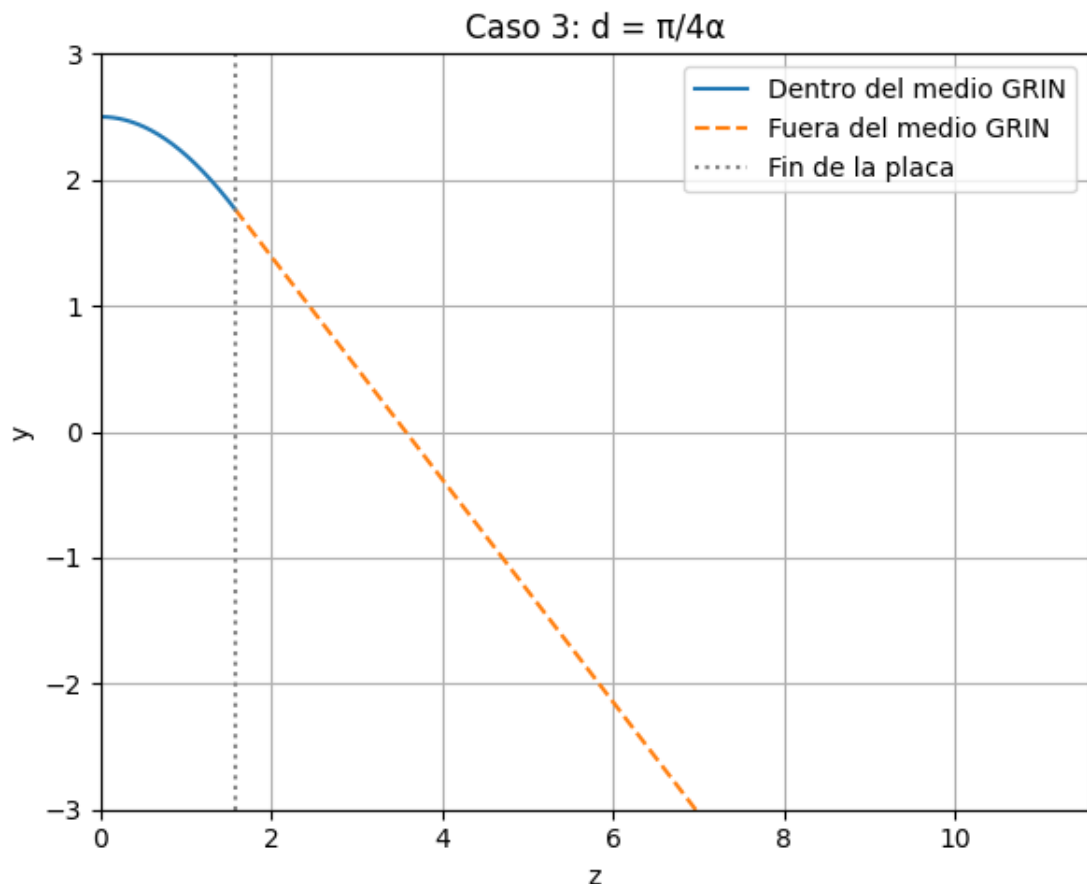
Caso 2:  $d = \frac{\pi}{2\alpha}$

- $\alpha d = \frac{\pi}{2}$
- $\cos(\frac{\pi}{2}) = 0, \sin(\frac{\pi}{2}) = 1$
- $y_d = 0, \theta_d = -1,25$



Caso 3:  $d = \frac{\pi}{4\alpha}$

- $\alpha d = \frac{\pi}{4}$
- $\cos(\frac{\pi}{4}) = \frac{\sqrt{2}}{2}, \sin(\frac{\pi}{4}) = \frac{\sqrt{2}}{2}$
- $y_d = 2,5 \cdot \frac{\sqrt{2}}{2} \approx 1,768, \theta_d = -0,5 \cdot 2,5 \cdot \frac{\sqrt{2}}{2} \approx -0,884$



## 2. Problema 2

Con base en una lente bi-convexa genérica de radios de curvatura  $R_1$  y  $R_2$  y de espesor central  $t$  derive las Ecs. (1) a la (6) del archivo *Óptica-Matricial-1.pdf*. La lente es de material óptico transparente de índice de refracción  $n_\ell$  y a la izquierda limita con un material óptico transparente de índice de refracción  $n_1$ , y a la derecha, con uno de índice de refracción  $n_2$ .

**Solución:**

En el problema se analiza un lente bi-convexa con radios  $R_1 > 0, R_2 < 0$ , un espesor central  $t$ , con índice interno  $n_\ell$  (material del lente) y dos medios exteriores de índices  $n_1$  que seria del lado del objeto(medio entrante) y  $n_2$  del lado de la imagen (medio saliente) . Esto con el objetivo de construir su matriz global  $M$  y, a partir de ella, obtener lo siguiente:

1. Longitudes focales  $f_1$  y  $f_2$ .
2. Posición de los planos principales  $H_1, H_2$ .
3. Posición de los puntos nodales  $N_1, N_2$ .
4. Ecuación de Gauss gruesa y aumento  $m$ .
5. Límite de lente delgada en aire.

La gracia en la óptica paraxial es que cada rayo se puede codificar mediante un vector

$$\mathbf{r} = \begin{pmatrix} y \\ n\theta \end{pmatrix},$$

donde  $y$  es la altura sobre el eje óptico y  $n\theta$  seria su *ángulo reducido*.

Para seguir con el desarrollo se usaran convenciones y aproximaciones básicas. Considerando el eje óptico  $z$  con dirección hacia la derecha, y  $y > 0$  arriba y  $\theta > 0$  cuando el rayo se esta inclina hacia arriba.  $R$  se toma como positiva si es convexa hacia la izquierda y negativa si es convexa hacia la derecha. Con la aproximación paraxial, los ángulos son muy pequeños

$$\tan \theta \approx \theta, \quad \sin \theta \approx \theta, \quad \cos \theta \approx 1.$$

Facilitando linealizar las leyes de Snell y la geometría de propagación, para que cada elemento del sistema óptico queda descrito por una transformación lineal en  $(y, \theta)$ .

### 2.1. Matriz $M_1$ : refracción en la primera superficie

La refracción de un rayo que incide desde el medio  $n_1$  a  $n_\ell$  en una superficie de radio  $R_1$ , usamos la ley de Snell linealizada :

$$n_1 \alpha_1 = n_\ell \alpha' \implies \alpha' = \frac{n_1}{n_\ell} \left( \theta_1 - \frac{y_1}{R_1} \right).$$

Se suma la inclinación de la normal, asi obteniendo el ángulo respecto al eje:

$$\theta' = \alpha' + \frac{y_1}{R_1} = \frac{n_1}{n_\ell} \theta_1 + \frac{n_\ell - n_1}{n_\ell} \frac{y_1}{R_1}.$$

La matriz que relaciona  $(y_1, \theta_1)$  con  $(y', \theta')$  quedaria como:

$$M_1 = \begin{pmatrix} 1 & 0 \\ \frac{n_\ell - n_1}{n_\ell R_1} & \frac{n_1}{n_\ell} \end{pmatrix}.$$

## 2.2. Matriz $M_2$ : traslación en el espesor

Nuestra  $M_2$  describe la propagación del rayo a por medio del espesor central  $t$  en  $n_\ell$ .

$$y'' = y' + t \tan \theta' \approx y' + t \theta', \quad \theta'' = \theta'.$$

Sin cambios ni en el índice ni curvatura, quedando

$$M_2 = \begin{pmatrix} 1 & t \\ 0 & 1 \end{pmatrix},$$

## 2.3. Matriz $M_3$ : refracción en la segunda superficie

$M_3$  modela la refracción de el rayo cuando este va hacia el material con índice  $n_\ell$  hasta  $n_2$ , con radio  $R_2$  de la superficie. De manera similar a  $M_2$  la ley de Snell paraxial produce

$$n_\ell \alpha'' = n_2 \alpha_2 \implies \alpha_2 = \frac{n_\ell}{n_2} \left( \theta'' + \frac{y''}{R_2} \right).$$

quedando similares, a diferencia de los signos

$$\theta_2 = \alpha_2 - \frac{y''}{R_2} = \frac{n_\ell}{n_2} \theta'' - \frac{n_\ell - n_2}{n_2} \frac{y''}{R_2},$$

Como la altura final obtenida  $y_2 = y''$ . Entonces:

$$M_3 = \begin{pmatrix} 1 & 0 \\ -\frac{n_\ell - n_2}{n_2 R_2} & \frac{n_\ell}{n_2} \end{pmatrix}.$$

La matriz total se obtiene por la composición

$$M = M_3 M_2 M_1 = \begin{pmatrix} A & B \\ C & D \end{pmatrix}.$$

Definiendo

$$M_1 = \begin{pmatrix} 1 & 0 \\ m_1 & k_1 \end{pmatrix}, \quad M_2 = \begin{pmatrix} 1 & t \\ 0 & 1 \end{pmatrix}, \quad M_3 = \begin{pmatrix} 1 & 0 \\ m_3 & k_3 \end{pmatrix},$$

con

$$m_1 = \frac{n_\ell - n_1}{n_\ell R_1}, \quad k_1 = \frac{n_1}{n_\ell}, \quad m_3 = -\frac{n_\ell - n_2}{n_2 R_2}, \quad k_3 = \frac{n_\ell}{n_2},$$

el producto directo da:

$$M_2 M_1 = \begin{pmatrix} 1 + t m_1 & t k_1 \\ m_1 & k_1 \end{pmatrix}, \quad M = M_3 (M_2 M_1) = \begin{pmatrix} A & B \\ C & D \end{pmatrix},$$

y los elementos son

$$\begin{aligned} A &= 1 + t m_1, \\ B &= t k_1, \\ C &= m_3 (1 + t m_1) + k_3 m_1, \\ D &= m_3 (t k_1) + k_3 k_1. \end{aligned}$$

Sustituyendo y simplificando:

$$\begin{aligned} A &= 1 + \frac{n_\ell - n_1}{n_\ell R_1} t, \\ B &= \frac{n_1}{n_\ell} t, \\ C &= -\frac{n_\ell - n_2}{n_2 R_2} \left(1 + \frac{n_\ell - n_1}{n_\ell R_1} t\right) + \frac{n_\ell - n_1}{n_2 R_1}, \\ D &= -\frac{n_\ell - n_2}{n_2 R_2} t \frac{n_1}{n_\ell} + \frac{n_1}{n_2}. \end{aligned}$$

En óptica paraxial, cualquier rayo se describe por

$$\begin{pmatrix} y_2 \\ \theta_2 \end{pmatrix} = \begin{pmatrix} A & B \\ C & D \end{pmatrix} \begin{pmatrix} y_1 \\ \theta_1 \end{pmatrix}.$$

## 2.4. Focal frontal $f_1$

Partimos de la matriz total del sistema M, para definir el foco frontal  $F_1$  imponemos la condición de que un rayo que parte de la altura  $y_1$  con ángulo

$$\theta_1 = -\frac{y_1}{f_1}$$

emerja paralelo al eje óptico, es decir  $\theta_2 = 0$ . Del segundo componente del producto matricial se extrae

$$\theta_2 = C y_1 + D \theta_1,$$

y al sustituir  $\theta_1 = -y_1/f_1$  se obtiene

$$0 = C y_1 - D \frac{y_1}{f_1} \implies \frac{1}{f_1} = \frac{C}{D}.$$

Se factoriza el índice de entrada para escribir

$$C = -\frac{n_1}{n_2} \frac{1}{f_1} \implies \frac{1}{f_1} = -\frac{n_2}{n_1} C.$$

Por otra parte, la combinación de las matrices lleva a la expresión

$$C = \frac{n_\ell - n_1}{n_1 R_1} + \frac{n_2 - n_\ell}{n_2 R_2} + \frac{(n_\ell - n_1)(n_2 - n_\ell)}{n_1 n_2} \frac{t}{R_1 R_2},$$

de modo que al sustituir en  $1/f_1 = -\frac{n_2}{n_1} C$

$$\frac{1}{f_1} = \frac{n_\ell - n_1}{n_1 R_1} + \frac{n_2 - n_\ell}{n_2 R_2} + \frac{(n_\ell - n_1)(n_2 - n_\ell)}{n_1 n_2} \frac{t}{R_1 R_2}.$$

## 2.5. Foco trasero $f_2$

Con la formulación de Newton definimos

$$x = z_1 - f_1, \quad x' = z_2 - f_2, \quad x x' = f_1 f_2.$$

Si invertimos el sentido de propagación (intercambiando  $n_1 \leftrightarrow n_2$ ), la expresión para  $1/f_2$  es idéntica a la de  $1/f_1$  salvo un signo por convención de ejes. De ahí surge de forma inmediata

$$f_2 = -\frac{n_2}{n_1} f_1.$$

Alternativamente, colocando el objeto en el plano focal trasero invertido ( $x = 0$ ), la condición  $x' \rightarrow \infty$  también conduce al mismo factor  $-n_2/n_1$ .

## 2.6. Plano principal frontal $r$

Definimos  $P$  como el punto sobre el eje (a distancia  $p$  del vértice de entrada) tal que un rayo que parte de él con altura  $y_1$  y pendiente  $\theta_1$  emerja paralelo ( $\theta_2 = 0$ ).

Como  $\theta_1 \approx y_1/p$ , se cumple

$$y_1 = p\theta_1.$$

La condición  $\theta_2 = 0$  conduce a

$$0 = C y_1 + D \theta_1 = (C p + D) \theta_1 \implies p = -\frac{D}{C}.$$

Usando la convención  $p = D/C$ , el plano principal frontal  $H_1$ , a distancia  $r$  del vértice, queda

$$r = p - f_1 = \frac{D}{C} - f_1.$$

## 2.7. Plano principal trasero $s$

Consideremos un rayo que entra paralelo al eje ( $\theta_1 = 0$ ). Al atravesar la lente, sus valores de salida son

$$y_2 = A y_1, \quad \theta_2 = C y_1.$$

Si prolongamos este rayo hacia atrás desde el segundo vértice, el punto de intersección con el eje se sitúa a

$$q = \frac{y_2}{\theta_2} = \frac{A}{C}.$$

Como el foco trasero  $F_2$  está a la distancia  $f_2$  del vértice, el plano principal trasero  $H_2$  se encuentra en

$$s = q - f_2 = \frac{A}{C} - f_2.$$

## 2.8. Plano nodal frontal $v$

El plano nodal frontal  $N_1$  es aquel desde el cual un rayo dirigido hacia él emerge manteniendo su ángulo. Primero imponemos que al llegar paralelo ( $\theta_2 = 0$ ) se cumpla

$$\theta_2 = C y_1 + D \theta_1 = 0,$$

y si suponemos  $\theta_1 \approx -y_1/v$ , obtenemos

$$v = \frac{D}{C}.$$

Luego, para asegurar que la altura de salida sea cero, sustituimos  $\theta_1 = -y_1/f_1$  en

$$y_2 = A y_1 + B \theta_1,$$

lo que da  $B = A f_1$ . Con ambas condiciones alcanzamos la fórmula final:

$$v = \frac{A f_1 - B}{C}.$$

## 2.9. Plano nodal trasero $w$

El plano nodal trasero  $N_2$ , medido desde el vértice de salida, es el punto donde un rayo paralelo ( $\theta_1 = 0$ ) mantiene su inclinación al salir.

Al atravesar la lente:

$$y_2 = A y_1, \quad \theta_2 = C y_1.$$

Prolongando el rayo hacia atrás hasta que recupere altura cero:

$$0 = A y_1 - w (C y_1) \implies w = \frac{A}{C}.$$

Por último, descontamos la distancia al foco trasero  $f_2$ :

$$w = \frac{A}{C} - f_2.$$

## 2.10. Relación de Newton

Usando las coordenadas de Newton,

$$x = z_1 - f_1, \quad x' = z_2 - f_2, \quad x x' = f_1 f_2,$$

sustituimos para obtener

$$(z_1 - f_1)(z_2 - f_2) = f_1 f_2 \implies z_1 z_2 - f_1 z_2 - f_2 z_1 = 0.$$

Dividiendo por  $z_1 z_2$  y reorganizando términos resulta

$$-\frac{f_1}{z_1} + \frac{f_2}{z_2} = 1.$$

## 2.11. Aumento lateral $m$

Introducimos traslaciones desde  $H_1$  y hasta  $H_2$ :

$$T_{\text{in}} = \begin{pmatrix} 1 & z_1 \\ 0 & 1 \end{pmatrix}, \quad T_{\text{out}} = \begin{pmatrix} 1 & z_2 \\ 0 & 1 \end{pmatrix}.$$

La matriz conjugada

$$M' = T_{\text{out}} M T_{\text{in}} = \begin{pmatrix} A' & B' \\ C' & D' \end{pmatrix}$$

tiene

$$B' = z_1 A + B + z_2 (z_1 C + D).$$

Imponiendo  $B' = 0$  (planos conjugados) hallamos

$$z_2 = -\frac{z_1 A + B}{z_1 C + D},$$

y el elemento

$$A' = A + C z_2$$

es la razón de alturas, esto es

$$m = A + C z_2.$$

Aplicando la forma de Gauss con  $n_1, n_2$ ,

$$z_2 = -\frac{n_1}{n_2} \frac{A z_1 + B}{C z_1 + D} \implies m = -\frac{n_1}{n_2} \frac{z_2}{z_1}.$$

**2.12. Caso  $n_1 = n_2$ : lente delgada**

En aire ( $n_1 = n_2$ ) y usando  $D = Cf_1$ , la condición  $B' = 0$  conduce a

$$A z_1 + B + z_2(C z_1 + D) = 0 \implies \frac{1}{z_1} + \frac{1}{z_2} = \frac{1}{f_1}.$$

El elemento  $A' = A + Cz_2$  sigue siendo la relación de alturas, de modo que

$$m = A + C z_2 \implies \boxed{m = -\frac{z_2}{z_1}}.$$